TSCHERMAKS MINERALOGISCHE UND PETROGRAPHISCHE MITTEILUNGEN

TMPM

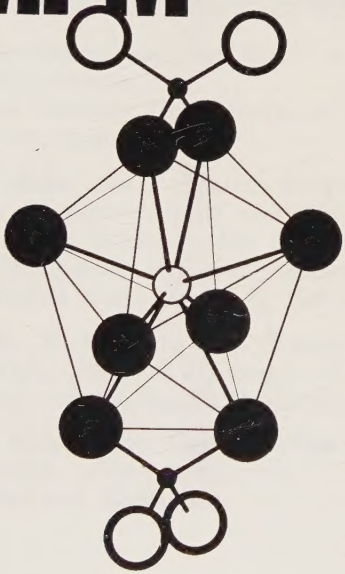

Dritte Folge Band 16 1971

72 Abbildungen

SPRINGER-VERLAG WIEN NEW YORK

Tschermaks Mineralogische und Petrographische Mitteilungen

Unter Mitwirkung von / In Cooperation with
H. Heritsch, Graz · J. Ladurner, Innsbruck
H. Wieseneder, Wien

Herausgegeben von / Edited by
J. Zemann, Wien

Fachbeirat / Advisory Board
L. Barić, Zagreb · B. Cambel, Bratislava
Judith W. Frondel, Cambridge, Mass. · P. Gallitelli, Bologna
G. Giusca, Bucureşti · B. Hejtman, Praha · E. Jäger, Bern
St. Karamata, Beograd · I. Kostov, Sofia · G. Pantó, Debrecen

Inhaltsverzeichnis

1.—2. Heft

Seite

Dickens, B., and **W. E. Brown**: The Crystal Structure of $Ca_5(PO_4)_2SiO_4$ (Silico-Carnotite). (With 9 Figures) 1
Die Kristallstruktur von $Ca_5(PO_4)_2SiO_4$ (Silicocarnotit).

Minčeva-Stefanova, Jordanka: Über die Verwendungsmöglichkeit von Gitterkonstanten der Zinkblende zur Bestimmung des isomorphen Eisengehalts. (Mit 4 Abbildungen) 28
On the Possibility of Using the Unit Cell Constants of Sphalerite to Determine the Isomorphous Iron Content.

Kolmer, H.: Zur Kaolinitbildung aus Biotit in oststeirischen Tuffen. (Mit 3 Abbildungen) 44
The Formation of Kaolinite from Biotite in Volcanic Tuffs from Eastern Styria, Austria.

Paděra, K., J. Procházka und **J. Malec**: Griquait mit rhombischem Pyroxen (Granatwebsterit) von Borek bei Stupná bei Křemže (Krems) in Böhmen. (Mit 1 Abbildung) 59
Griquaite with Orthorhombic Pyroxene (Garnetic Websterite) from Borek at Stupná near Křemže in Bohemia.

Dickens, B., and **W. E. Brown**: The Crystal Structure of $Ca_7Mg_9(Ca,Mg)_2(PO_4)_{12}$. (With 6 Figures) 79
Die Kristallstruktur von $Ca_7Mg_9(Ca,Mg)_2(PO_4)_{12}$.

Giuseppetti, G., F. Mazzi, and **Carla Tadini**: The Crystal Structure of Eudialyte. (With 2 Figures) 105
Die Kristallstruktur von Eudialyt.

Buchbesprechung 128

3. Heft

Beran, A.: Messung des Ultrarot-Pleochroismus von Mineralen. XII. Der Pleochroismus der OH-Streckfrequenz in Disthen. (Mit 3 Abbildungen) 129
Measurement of the Infrared-Pleochroism in Minerals. XII. The Pleochroism of the OH-Stretching Frequency in Kyanite.

Seite

Raase, P.: Zur Synthese und Stabilität der Albit-Modifikationen. (Mit 3 Abbildungen) 136
On the Synthesis and Stability of Albite Polymorphs.

Hörmann, P. K., K. Mignon, G. Morteani und **P. Rudan**: Untersuchungen an Kugelgraniten aus den Zillertaler Alpen (Tirol, Österreich). (Mit 10 Abbildungen) 156
Investigations on Orbiculitic Granites from the Zillertal Alps (Tyrol, Austria).

Kalbskopf, R.: Die Koordination des Quecksilbers im Schwazit. (Mit 1 Abbildung) 173
The Coordination of Mercury in Schwazite.

Purtscheller, F., und **E. Mposkos**: Über den Eisengehalt von Alumosilikaten aus Quarzknauern. (Mit 5 Abbildungen) 176
On the Iron Content of Alumosilicates in Quartz Nodules.

Buchbesprechungen 187

Nachrichten 190

4. Heft

Kurat, G.: Granat-Spinell-Websterit und Lherzolith aus dem Basalttuff von Kapfenstein, Steiermark. (Mit 4 Abbildungen) 192
Garnet-Spinel-Websterite and Lherzolite from the Basalt Tuff from Kapfenstein, Styria.

Weinke, H. H., W. Kiesl, F. Kluger und **F. Hermann**: Elektronenstrahlmikroanalyse der Graphit-Troilitphase des Cañon Diablo-Eisenmeteorits. (Mit 5 Abbildungen) 215
Electron-Probe Analysis of the Graphite-Troilite Phase in the Cañon Diablo Iron-Meteorite.

Richter, W.: Ariégite, Spinell-Peridotite und Phlogopit-Klinopyroxenite aus dem Tuff von Tobaj im südlichen Burgenland. (Mit 3 Abbildungen) 227
Ariégites, Spinel-Peridotites, and Phlogopite-Clinopyroxenites from the Tuff of Tobaj, Southern Burgenland, Austria.

Scharbert, H. G.: Cyanit und Sillimanit in moldanubischen Granuliten. (Mit 8 Abbildungen) 252
Kyanite and Sillimanite in Moldanubian Granulites.

Seite

Kurzweil, H.: Mineralbestand und Genese einiger Eisenerzvorkommen in den Sedimenten der „Landseer Bucht", Burgenland. (Mit 3 Abbildungen) 268
Mineral Content and Genesis of Iron Ore in Sediments of the "Landseer Bucht", Burgenland, Austria.

Beran, A.: Messung des Ultrarot-Pleochroismus von Mineralen. XIII. Der Pleochroismus der OH-Streckfrequenz in Axinit. (Mit 2 Abbildungen) 281
Measurement of the Infrared-Pleochroism in Minerals. XIII. The Pleochroism of the OH-Stretching Frequency in Axinite.

Buchbesprechungen 287

Nachrichten 288

Listed in Current Contents

Namenverzeichnis

(B) = Buchbesprechung

Barth, T. F. W. 287 (B)
Beran, A. 129, 281
Brown, W. E. 1, 79

Chudoba, K. F. 188 (B)
Correns, C. W. 287 (B)

Dickens, B. 1, 79

Eskola, P. 287 (B)

Füchtbauer, H. 128 (B)

Giuseppetti, G. 105

Hermann, F. 215
Hörmann, P. K. 156

Kalbskopf, R. 173
Kiesl, W. 215
Kluger, F. 215
Kolmer, H. 44
Kurat, G. 192
Kurzweil, H. 268

Malec, J. 59
Mazzi, F. 105
Mignon, K. 156
Millot, G. 287 (B)
Minčeva-Stefanova, Jordanka 28
Morteani, G. 156
Mposkos, E. 176
Müller, G. 128 (B)

Paděra, K. 59
Petrascheck, W. E. 189 (B)
Procházka, J. 59
Purtscheller, F. 176

Raase, P. 136
Richter, W. 227
Rudan, P. 156

Scharbert, H. G. 252
Strunz, H. 187 (B)
Széky-Fux, V. 188 (B)

Tadini, Carla 105

Weinke, H. H. 215